Elettromagnetismo

Prof. Francesco Ragusa Università degli Studi di Milano

Lezione n. 23 - 9.03.2023

Filo di raggio finito – Spira $\cos\phi$ Potenziale vettore Potenziale vettore di un campo costante, di un filo infinito, di una spira

Anno Accademico 2022/2023

Filo di raggio a percorso da corrente

- ullet Consideriamo un filo percorso da una corrente I
 - Non trascuriamo il raggio del filo
 - Supponiamo che la corrente sia dovuta ad una densità di corrente uniforme

sulla sezione del filo
$$I = \int_S \mathbf{J} \cdot d\mathbf{a} = JS = J\pi a^2 \quad J(r) = \begin{cases} J_0 = \frac{I}{\pi a^2} & r \leq a \end{cases}$$

- Data la simmetria del problema le linee di campo sono delle circonferenze concentriche al filo $\, {f B}(r) = B(r) \hat{f e}_{{}_{\!\scriptscriptstyle A}} \,$
 - Possiamo utilizzare la legge di Ampère per calcolare il campo magnetico
 - ullet All'esterno del filo r>a

$$\oint_{\Gamma} \mathbf{B} \cdot d\mathbf{l} = \mu_0 \int_{S} \mathbf{J} \cdot d\mathbf{a} = \mu_0 I \qquad \oint_{\Gamma} \mathbf{B} \cdot d\mathbf{l} = 2\pi r B(r)$$

$$\oint_{\Gamma} \mathbf{B} \cdot d\mathbf{l} = 2\pi r B (r$$

Uguagliando

$$2\pi r B(r) = \mu_0 I$$

$$B(r) = \frac{\mu_0}{2\pi} \frac{I}{r}$$

ullet All'interno del filo r < a

$$\int_{S} \mathbf{J} \cdot d\mathbf{a} = J_0 \pi r^2 \quad B(r) = \frac{\mu_0}{2\pi} \frac{J_0 \pi r^2}{r} = \frac{\mu_0}{2} J_0 r$$

$$B(r) = \frac{\mu_0}{2\pi} I \frac{r}{a^2}$$

Filo di raggio a percorso da corrente

• Riepilogando

$$B(r) = \frac{\mu_0}{2\pi} \frac{I}{r}$$
 $r > a$ $B(r) = \frac{\mu_0}{2\pi} I \frac{r}{a^2}$ $r < a$

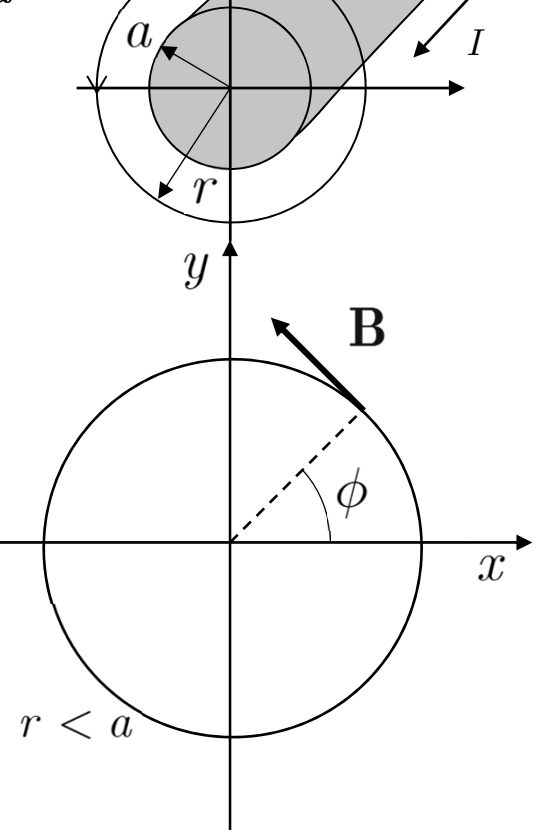
- Scriviamo adesso il campo in forma vettoriale
 - In coordinate cartesiane e in coordinate cilindriche

$$\mathbf{B}(r) = \frac{\mu_0}{2\pi} \frac{I}{r} \begin{pmatrix} -\sin\phi \\ \cos\phi \\ 0 \end{pmatrix} = \frac{\mu_0}{2\pi} \frac{I}{r} \hat{\mathbf{e}}_{\phi} \qquad r > a$$

- Abbiamo già verificato che $\nabla \times \mathbf{B} = 0$ (diap. 64)
- All'interno del filo

$$\mathbf{B}(r) = \frac{\mu_0}{2\pi} \frac{Ir}{a^2} \begin{pmatrix} -\sin\phi \\ \cos\phi \\ 0 \end{pmatrix} = \frac{\mu_0}{2\pi} \frac{Ir}{a^2} \hat{\mathbf{e}}_{\phi} = \frac{\mu_0}{2\pi} \frac{I(-y\hat{\mathbf{e}}_x + x\hat{\mathbf{e}}_y)}{a^2} \qquad r < a$$





Filo di raggio a percorso da corrente

- Calcoliamo il rotore in coordinate cartesiane
 - Sarebbe più semplice in coordinate cilindriche

$$\mathbf{B}(r) = \frac{\mu_0}{2\pi} \frac{I(-y\hat{\mathbf{e}}_x + x\hat{\mathbf{e}}_y)}{a^2} \qquad \mathbf{\nabla} \times \mathbf{B} = (\frac{\partial B_z}{\partial y} - \frac{\partial B_y}{\partial z})\hat{\mathbf{e}}_x + (\frac{\partial B_x}{\partial z} - \frac{\partial B_z}{\partial x})\hat{\mathbf{e}}_y + (\frac{\partial B_y}{\partial x} - \frac{\partial B_z}{\partial y})\hat{\mathbf{e}}_z$$

$$\mathbf{\nabla} \times \mathbf{B} = (\frac{\partial B_y}{\partial x} - \frac{\partial B_x}{\partial y})\hat{\mathbf{e}}_z = \frac{\mu_0 I}{2\pi a^2}(1+1)\hat{\mathbf{e}}_z = \frac{\mu_0 I}{\pi a^2}\hat{\mathbf{e}}_z = \mu_0 \mathbf{J}$$

Riepilogando

$$\nabla \times \mathbf{B} = 0$$
 $r > a$ $\nabla \times \mathbf{B} = \frac{\mu_0 I}{\pi a^2} \hat{\mathbf{e}}_z = \mu_0 \mathbf{J}$ $r < a$

- Come abbiamo visto questa è la condizione fisica reale
 - ullet Se vogliamo il caso limite di un filo di raggio nullo a
 ightarrow 0

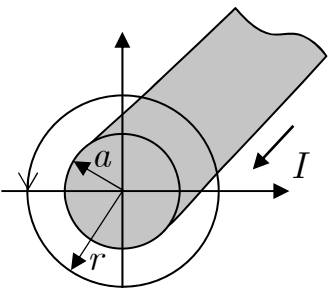
$$J_{\scriptscriptstyle 0} = rac{I}{\pi a^2}
ightarrow \infty \hspace{1cm} S = \pi a^2
ightarrow 0 \hspace{1cm} J_{\scriptscriptstyle 0} S
ightarrow I$$

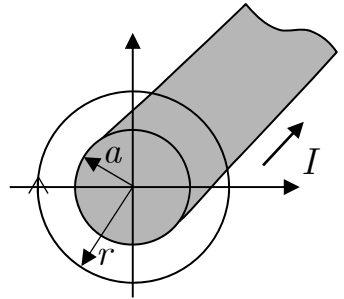
 \bullet Come abbiamo visto nella diapositiva <u>64</u> si può esprimere matematicamente questo limite utilizzando la funzione δ

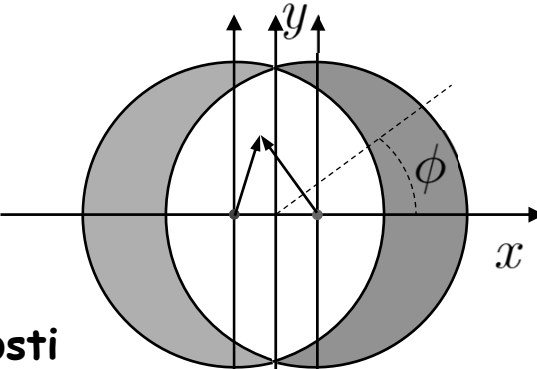
$$\nabla \times \mathbf{B} \to \mu_0 I \delta(x) \delta(y) \hat{\mathbf{e}}_z$$

La spira " $\cos\phi$ "

- Consideriamo adesso il campo generato da due fili percorsi da corrente
 - La corrente nei due fili circola in senso opposto







- Consideriamo adesso i due fili parzialmente sovrapposti
 - Nella regione di sovrapposizione la densità di corrente è nulla
 - La parte bianca del disegno è una regione vuota, senza materiale
 - Le densità di corrente che non si annullano sono come in figura
 - Trasportano una densità di corrente uniforme ma con versi opposti
 - ullet Hanno una forma tale che lo spessore della regione J
 eq 0 varia come $\cos\phi$
- ullet Consideriamo un punto nella regione in cui ${
 m J}=0$
 - ullet Dimostriamo che in questa regione il campo ${f B}$ ha solo la componente y
 - Inoltre il campo ha modulo costante
 - Ricordiamo che i campi dei due fili sono

$$B_x = \mp \frac{\mu_0}{2\pi} \frac{Ir}{a^2} \sin \phi$$
 $B_y = \pm \frac{\mu_0}{2\pi} \frac{Ir}{a^2} \cos \phi$

La spira " $\cos\phi$ "

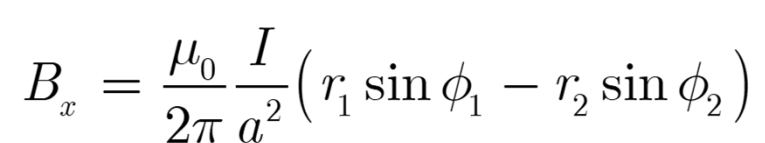
$$B_x = \mp \frac{\mu_0}{2\pi} \frac{Ir}{a^2} \sin \phi \qquad B_y = \pm \frac{\mu_0}{2\pi} \frac{Ir}{a^2} \cos \phi$$

• Consideriamo in dettaglio la regione interna

$$B_x = B_{1x} + B_{2x}$$

$$B_{1x} = \frac{\mu_0}{2\pi} \frac{I}{a^2} r_1 \sin \phi_1$$

$$B_{2x} = -\frac{\mu_0}{2\pi} \frac{I}{a^2} r_2 \sin \phi_2$$

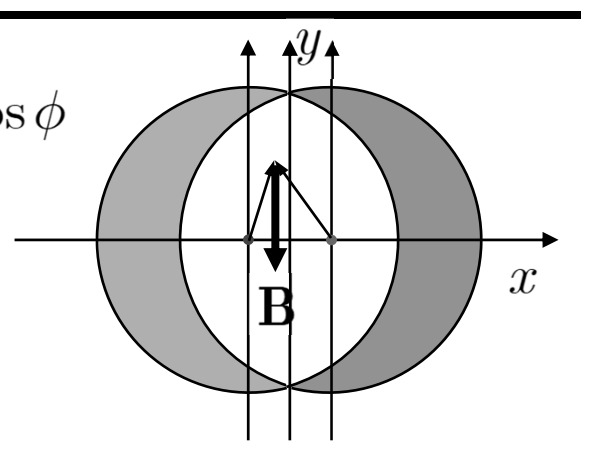


 $r_1 \sin \phi_1 = r_2 \sin \phi_2$

$$B_x = 0$$

$$B_y = -\frac{\mu_0}{2\pi} \frac{I}{a^2} d$$

• Campo uniforme diretto verso il basso



$$B_{y} = B_{1y} + B_{2y}$$

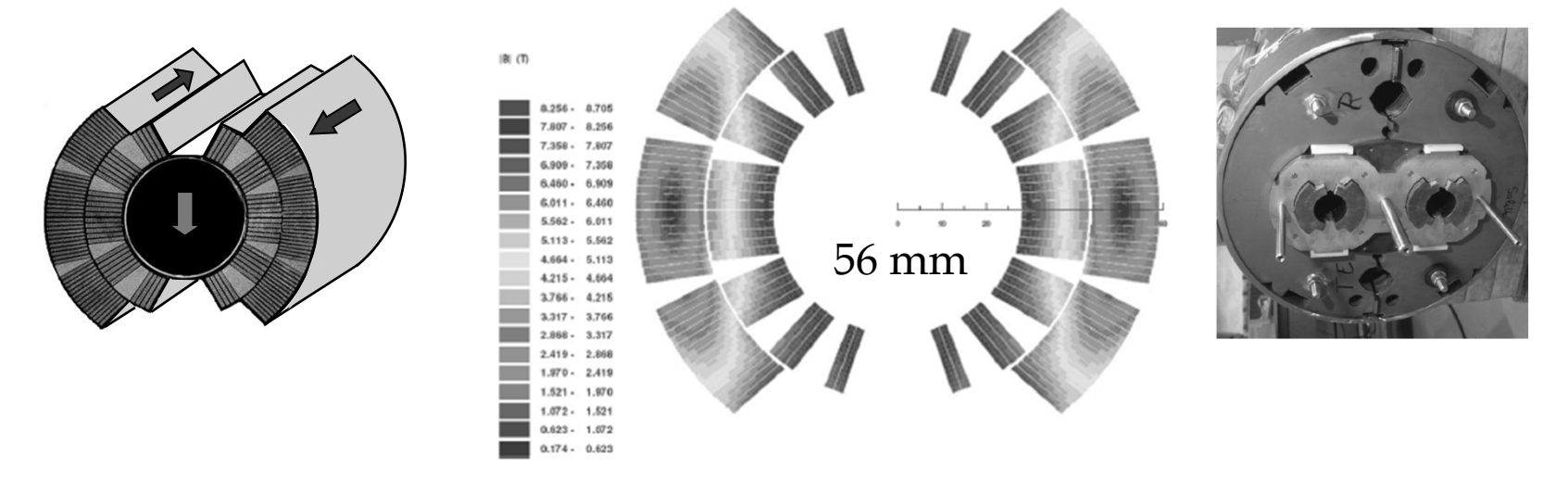
$$B_{1y} = -\frac{\mu_0}{2\pi} \frac{I}{a^2} r_1 \cos \phi_1$$

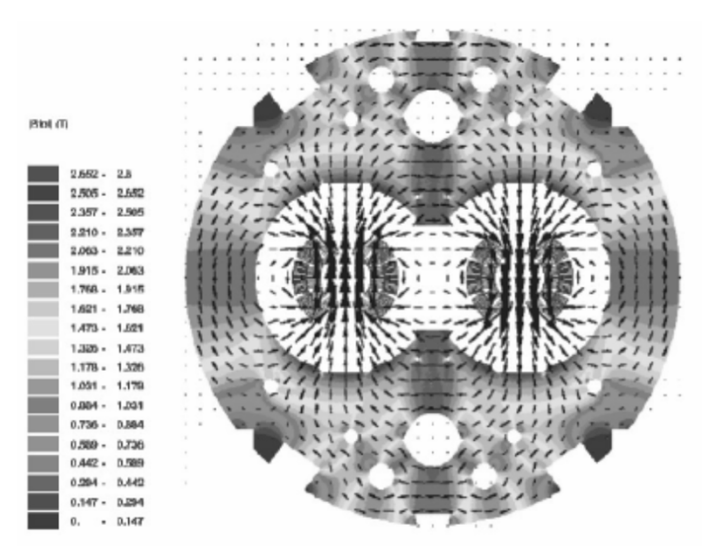
$$B_{2y} = \frac{\mu_0}{2\pi} \frac{I}{a^2} r_2 \cos \phi_2$$

$$B_{y} = \frac{\mu_{0}}{2\pi} \frac{I}{a^{2}} \left(r_{2} \cos \phi_{2} - r_{1} \cos \phi_{1} \right)$$

$$r_1 \cos \phi_1 - r_2 \cos \phi_2 = d$$

I dipoli di LHC

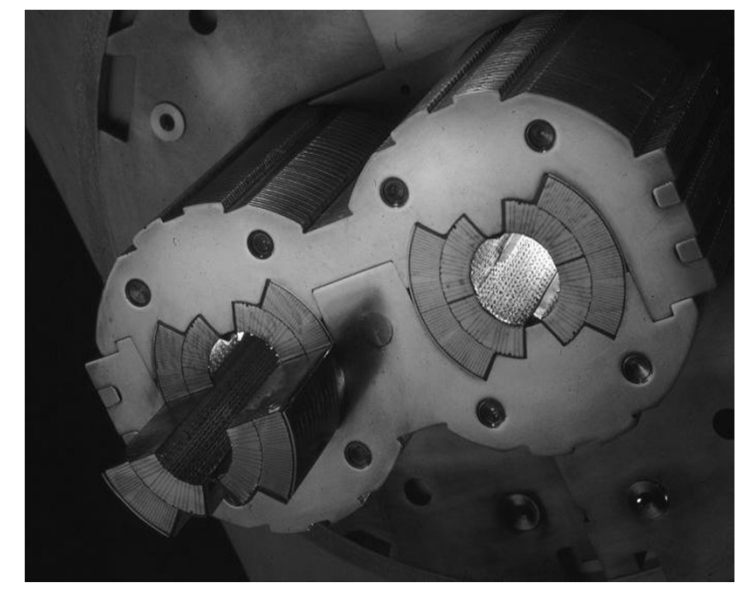






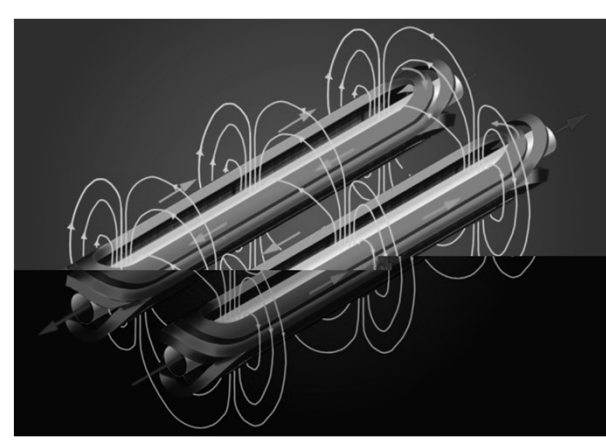
I dipoli di LHC











I dipoli di LHC

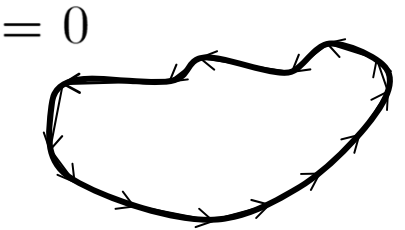


Question time ...

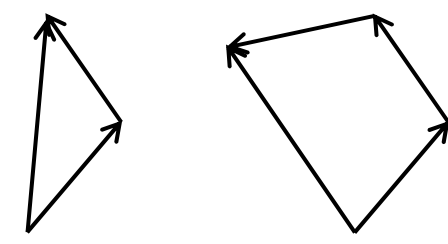
• Abbiamo che detto che se il campo magnetico è uniforme la forza su un filo che forma un circuito chiuso è nulla (vedi diapositiva 31)

$$\mathbf{B} \uparrow \bigcirc C \qquad \mathbf{F} = I \oint_C d\mathbf{l} \times \mathbf{B} = \left(I \oint_C d\mathbf{l} \right) \times \mathbf{B} = 0$$

- Perché la circuitazione di $d\mathbf{l}$ è nulla? $\oint_{\mathcal{C}} d\mathbf{l} = 0$
- Intuitivamente l'integrale è il vettore somma di tutti i $d\mathbf{l}$ in cui si può scomporre il circuito
 - La somma di n vettori ...



$$\oint_C d\mathbf{l} = \sum_{i=1}^N d\mathbf{l}_i$$



Se la successione dei vettori si chiude la risultante è nulla

- Analiticamente
 - Il circuito è descritto da una curva chiusa parametrica

$$\mathbf{r}(u) \qquad u_{\min} \le u \le u_{\max} \qquad \mathbf{r}(u_{\min}) = \mathbf{r}(u_{\max})$$

$$\mathbf{r}(u) = x(u)\hat{\mathbf{e}}_x + y(u)\hat{\mathbf{e}}_y + z(u)\hat{\mathbf{e}}_z \qquad x(u_{\min}) = x(u_{\max}) \dots$$

Domande ...

 \bullet Calcoliamo il differenziale di $\mathbf{r}(u) = x(u) \hat{\mathbf{e}}_x + y(u) \hat{\mathbf{e}}_y + z(u) \hat{\mathbf{e}}_z$

$$d\mathbf{r} \equiv d\mathbf{l} = dx(u)\hat{\mathbf{e}}_x + dy(u)\hat{\mathbf{e}}_y + dz(u)\hat{\mathbf{e}}_z$$

$$d\mathbf{l} = \frac{dx}{du}du\,\hat{\mathbf{e}}_x + \frac{dy}{du}du\,\hat{\mathbf{e}}_y + \frac{dz}{du}du\,\hat{\mathbf{e}}_z$$

Calcoliamo la circuitazione

$$\oint_C d\mathbf{l} = \int_{u_{\min}}^{u_{\max}} \frac{dx}{du} du \, \hat{\mathbf{e}}_x + \frac{dy}{du} du \, \hat{\mathbf{e}}_y + \frac{dz}{du} du \, \hat{\mathbf{e}}_z$$

ullet Consideriamo la componente x (per le altre le considerazioni sono analoghe)

$$\int_{u_{\min}}^{u_{\max}} \frac{dx}{du} du = \int_{u_{\min}}^{u_{\max}} dx = x \Big|_{u_{\min}}^{u_{\max}} = x(u_{\max}) - x(u_{\min}) = 0$$

ullet Un esempio concreto: una circonferenza di raggio a sul piano x-y centrata nell'origine

$$\mathbf{r}(u) = a\cos u\,\hat{\mathbf{e}}_x + a\sin u\,\hat{\mathbf{e}}_y \qquad 0 \le u \le 2\pi$$

Operatore ∇ applicato due volte

- Le relazioni viste nella diapositiva 55 contengono solo derivate prime
 - Applicando due volte l'operatore ∇ si ottengono espressioni con derivate seconde
- ullet Una "derivata prima" costruita con abla può essere
 - ullet Uno scalare costruito con la divergenza $abla\cdot A$
 - Si può calcolare il gradiente
 - ullet Un vettore costruito con un gradiente $abla \phi$
 - Si può calcolare la divergenza
 - Si può calcolare il rotore
 - Un vettore costruito con un rotore
 - Si può calcolare la divergenza
 - Si può calcolare il rotore
- L'elenco esaurisce tutte le possibilità
 - Alcune espressioni le abbiamo già incontrate
 - Nello studio dell'elettrostatica
 - Il gradiente della divergenza è poco utile in fisica
 - ullet Le ultime due si possono facilmente calcolare in coordinate cartesiane utilizzando la definizione esplicita di abla
- ullet Con $abla^2 A$ si intende l'applicazione di $abla^2$ a ogni componente di A

$$abla\!\cdot\!(
abla\phi)\!=
abla^2\phi$$

$$abla imes(
abla\phi)=0$$

 $\nabla(\nabla\cdot\mathbf{A})$

 $\nabla \times \mathbf{A}$

$$egin{aligned}
abla \cdot (
abla imes A) &= 0 \
abla imes (
abla imes A) &=
abla (
abla \cdot A) &-
abla^2 A \end{aligned}$$

$$oldsymbol{
abla}^2 \mathbf{A} = egin{pmatrix} oldsymbol{
abla}^2 A_x \ oldsymbol{
abla}^2 A_y \ oldsymbol{
abla}^2 A_z \end{pmatrix}$$

Operatore ∇ applicato due volte

ullet Verifichiamo la relazione $oldsymbol{
abla}\cdotig(oldsymbol{
abla} imesoldsymbol{a}ig)=0$

$$\mathbf{\nabla} \cdot (\mathbf{\nabla} \times \mathbf{A}) = 0$$

• Ricordiamo le componenti di $\nabla \times \mathbf{A}$

$$\left(\boldsymbol{\nabla}\times\mathbf{A}\right)_{x} = \frac{\partial A_{z}}{\partial y} - \frac{\partial A_{y}}{\partial z} \qquad \left(\boldsymbol{\nabla}\times\mathbf{A}\right)_{y} = \frac{\partial A_{x}}{\partial z} - \frac{\partial A_{z}}{\partial x} \qquad \left(\boldsymbol{\nabla}\times\mathbf{A}\right)_{z} = \frac{\partial A_{y}}{\partial x} - \frac{\partial A_{x}}{\partial y}$$

Calcoliamo la divergenza

$$\nabla \cdot \left(\nabla \times \mathbf{A} \right) = \frac{\partial}{\partial x} \left(\frac{\partial A_z}{\partial y} - \frac{\partial A_y}{\partial z} \right) + \frac{\partial}{\partial y} \left(\frac{\partial A_x}{\partial z} - \frac{\partial A_z}{\partial x} \right) + \frac{\partial}{\partial z} \left(\frac{\partial A_y}{\partial x} - \frac{\partial A_x}{\partial y} \right)$$

$$= \frac{\partial^2 A_z}{\partial x \partial y} - \frac{\partial^2 A_y}{\partial x \partial z} + \frac{\partial^2 A_x}{\partial y \partial z} - \frac{\partial^2 A_z}{\partial y \partial x} + \frac{\partial^2 A_y}{\partial z \partial x} - \frac{\partial^2 A_x}{\partial z \partial y}$$

$$\nabla \cdot (\nabla \times \mathbf{A}) = 0$$

Campo magnetico di una spira¹

**

- \bullet Calcoliamo il campo di induzione magnetica B di una spira in un punto fuori dall'asse
 - ullet La simmetria azimutale del problema consente di scegliere il punto ${\bf r}$ sul piano x-z

$$\mathbf{r} = r\sin\theta\,\hat{\mathbf{e}}_x + r\cos\theta\,\hat{\mathbf{e}}_z$$

- Consideriamo un tratto dl sul filo
 - È individuato dal vettore $\mathbf{r}' = \hat{\mathbf{e}}_x a \cos \phi' + \hat{\mathbf{e}}_y a \sin \phi'$
 - Calcoliamo $d\mathbf{l} = d\mathbf{r}'$

$$d\mathbf{l} \equiv d\mathbf{r}' = \frac{d\mathbf{r}'}{d\phi'}d\phi' = \left(-\hat{\mathbf{e}}_x \sin \phi' + \hat{\mathbf{e}}_y \cos \phi'\right)ad\phi'$$

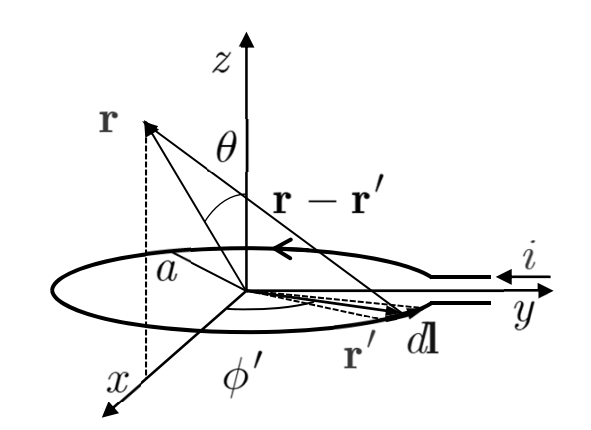
ullet Il contributo a $egin{aligned} \mathbf{B} & \mathbf{c} \end{aligned} d\mathbf{B} = \frac{\mu_0}{4\pi} i \frac{d\mathbf{l} imes \left(\mathbf{r} - \mathbf{r}'\right)}{\left|\mathbf{r} - \mathbf{r}'\right|^3} \end{aligned}$

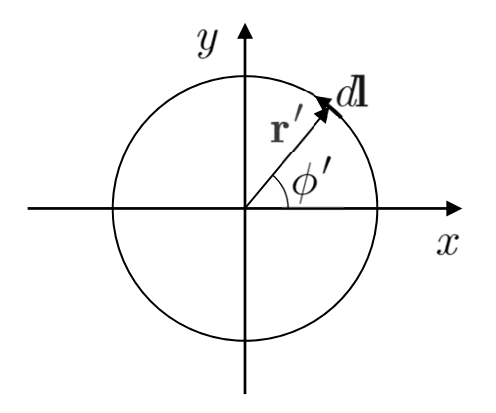
$$\mathbf{r} - \mathbf{r}' = r \sin \theta \,\hat{\mathbf{e}}_x + r \cos \theta \,\hat{\mathbf{e}}_z - \hat{\mathbf{e}}_x a \cos \phi' - \hat{\mathbf{e}}_y a \sin \phi'$$

$$\left| \mathbf{r} - \mathbf{r}' \right| = \left[(r \sin \theta - a \cos \phi')^2 + a^2 \sin^2 \phi' + r^2 \cos^2 \theta \right]^{\frac{1}{2}}$$

$$\left| \mathbf{r} - \mathbf{r}' \right| = \left[a^2 + r^2 - 2ar \sin \theta \cos \phi' \right]^{\frac{1}{2}}$$

• ¹S. Datta – Electric and magnetic field from a circular coil using Elliptical integrals – Physics Education September - October 2007 p. 203





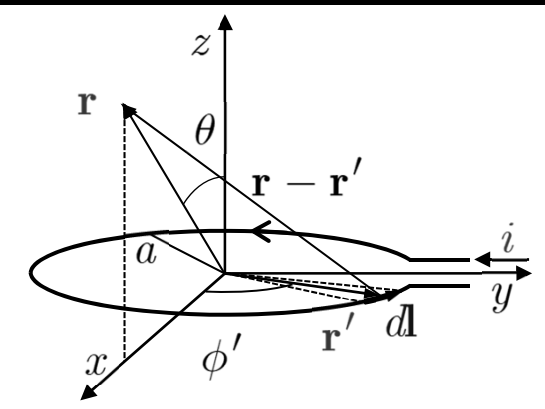
Campo magnetico di una spira

$$d\mathbf{l} = (-\hat{\mathbf{e}}_x \sin \phi' + \hat{\mathbf{e}}_y \cos \phi') a d\phi'$$

$$\mathbf{r} - \mathbf{r}' = r \sin \theta \,\hat{\mathbf{e}}_x + r \cos \theta \,\hat{\mathbf{e}}_z - \hat{\mathbf{e}}_x a \cos \phi' - \hat{\mathbf{e}}_y a \sin \phi'$$

• Calcoliamo il prodotto vettoriale

$$d\mathbf{l} \times (\mathbf{r} - \mathbf{r}') = (-\hat{\mathbf{e}}_x \sin \phi' + \hat{\mathbf{e}}_y \cos \phi') \times \times [(r \sin \theta - a \cos \phi')\hat{\mathbf{e}}_x - \hat{\mathbf{e}}_y a \sin \phi' + r \cos \theta \hat{\mathbf{e}}_z] a d\phi'$$



$$= \left[r \cos \theta \cos \phi' \hat{\mathbf{e}}_x + r \cos \theta \sin \phi' \hat{\mathbf{e}}_y + (a \sin^2 \phi' + a \cos^2 \phi' - r \sin \theta \cos \phi') \hat{\mathbf{e}}_z \right] a d\phi'$$

$$= \left[r \cos \theta \cos \phi' \hat{\mathbf{e}}_x + r \cos \theta \sin \phi' \hat{\mathbf{e}}_y + (a - r \sin \theta \cos \phi') \hat{\mathbf{e}}_z \right] a d\phi'$$

• Il campo B è pertanto

$$\mathbf{B}(\mathbf{r}) = \frac{\mu_0}{4\pi} i \int_0^{2\pi} \frac{r \cos \theta \cos \phi' \hat{\mathbf{e}}_x + r \cos \theta \sin \phi' \hat{\mathbf{e}}_y + (a - r \sin \theta \cos \phi') \hat{\mathbf{e}}_z}{\left[a^2 + r^2 - 2ar \sin \theta \cos \phi'\right]^{\frac{3}{2}}} ad\phi'$$

- ullet Notiamo innanzitutto che il termine proporzionale a $\hat{\mathbf{e}}_y$ è nullo
 - \bullet Basta fare la sostituzione $\phi' \to x + \pi$ e si ottiene una funzione dispari in x integrata da $-\pi$ a $+\pi$

$$\mathbf{B}(\mathbf{r}) = \frac{\mu_0}{4\pi} i \int_0^{2\pi} \frac{r \cos\theta \cos\phi' \hat{\mathbf{e}}_x + (a - r \sin\theta \cos\phi') \hat{\mathbf{e}}_z}{\left[a^2 + r^2 - 2ar \sin\theta \cos\phi'\right]^{\frac{3}{2}}} ad\phi'$$

$$\mathbf{B}(\mathbf{r}) = \frac{\mu_0}{4\pi} i \int_0^{2\pi} \frac{r \cos \theta \cos \phi' \hat{\mathbf{e}}_x + (a - r \sin \theta \cos \phi') \hat{\mathbf{e}}_z}{\left[a^2 + r^2 - 2ar \sin \theta \cos \phi'\right]^{\frac{3}{2}}} ad\phi'$$

Notiamo inoltre che

$$\cos\theta \; \hat{\mathbf{e}}_x - \sin\theta \, \hat{\mathbf{e}}_z = \hat{\mathbf{e}}_\theta \qquad \qquad \hat{\mathbf{e}}_z = \cos\theta \, \hat{\mathbf{e}}_r - \sin\theta \, \hat{\mathbf{e}}_\theta$$

Posto

$$I_{rac{3}{2}} = \int_{0}^{2\pi} rac{d\phi'}{\left[a^2 + r^2 - 2ar\sin\theta\cos\phi'
ight]^{rac{3}{2}}} \qquad X_{rac{3}{2}} = \int_{0}^{2\pi} rac{\cos\phi'd\phi'}{\left[a^2 + r^2 - 2ar\sin\theta\cos\phi'
ight]^{rac{3}{2}}}$$

Otteniamo

$$\mathbf{B}(\mathbf{r}) = \frac{\mu_0}{4\pi} ira\,\hat{\mathbf{e}}_{\theta} X_{\frac{3}{2}} + \frac{\mu_0}{4\pi} ia^2 (\cos\theta\,\hat{\mathbf{e}}_{r} - \sin\theta\,\hat{\mathbf{e}}_{\theta}) I_{\frac{3}{2}}$$

$$\mathbf{B}(\mathbf{r}) = \frac{\mu_0}{4\pi} i a^2 I_{\frac{3}{2}} \cos\theta \,\hat{\mathbf{e}}_r + \frac{\mu_0}{4\pi} i a \left(rX_{\frac{3}{2}} - a \sin\theta I_{\frac{3}{2}}\right) \hat{\mathbf{e}}_{\theta}$$

- ullet Le due espressioni $I_{3/2}$ e $X_{3/2}$ sono riconducibili a integrali ellittici
 - Vedi anche elettromagnetismo 1 diapositiva 230

Campo magnetico di una spira

$$X_{\frac{3}{2}} = \int_{0}^{2\pi} \frac{\cos\phi' d\phi'}{\left[a^{2} + r^{2} - 2ar\sin\theta\cos\phi'\right]^{\frac{3}{2}}} \qquad I_{\frac{3}{2}} = \int_{0}^{2\pi} \frac{d\phi'}{\left[a^{2} + r^{2} - 2ar\sin\theta\cos\phi'\right]^{\frac{3}{2}}}$$

- Trasformiamo gli integrali in una forma opportuna rispetto alle definizioni standard degli integrali ellittici
 - ullet Prima di tutto operiamo un cambio di variabile: $\phi=\pi+2t$
 - I limiti di integrazione diventano

$$ullet$$
 $\phi=0
ightarrow t=-\pi/2$ $\phi=2\pi
ightarrow t=+\pi/2$. Inoltre $d\phi=2dt$

- ullet La funzione trigonometrica: $\cos(\pi+2t)=-\cos 2t=-1+2\sin^2 t$
- Chiamiamo A il radicando

$$A = r^2 + a^2 - 2ar\sin\theta\cos\phi = r^2 + a^2 + 2ar\sin\theta - 4ar\sin\theta\sin^2t$$

Definiamo

$$\xi^2 = r^2 + a^2 + 2ar\sin\theta$$

$$\xi^2 = r^2 + a^2 + 2ar\sin\theta$$
 $k^2 = \frac{4ar\sin\theta}{r^2 + a^2 + 2ar\sin\theta}$

- ullet Osserviamo che per $0 \leq heta \leq \pi$ e $0 \leq r < \infty$ abbiamo $0 \leq k \leq 1$
- ullet Per l'integrale $I_{3/2}$ otteniamo

$$I_{\frac{3}{2}} = \int_{0}^{2\pi} \frac{d\phi'}{\left[a^{2} + r^{2} - 2ar\sin\theta\cos\phi'\right]^{\frac{3}{2}}} = \frac{1}{\xi^{3}} \int_{-\frac{\pi}{2}}^{+\frac{\pi}{2}} \frac{2dt}{(1 - k^{2}\sin^{2}t)^{\frac{3}{2}}} = \frac{4}{\xi^{3}} \int_{0}^{+\frac{\pi}{2}} \frac{dt}{(1 - k^{2}\sin^{2}t)^{\frac{3}{2}}}$$

大大大

Ricordiamo le definizioni degli integrali ellittici di primo e secondo tipo

$$K(k) = \int_0^{rac{\pi}{2}} rac{d\phi}{igl[1-k^2\sin^2\phiigr]^{rac{1}{2}}} \qquad E(k) = \int_0^{rac{\pi}{2}} igl[1-k^2\sin^2\phiigr]^{rac{1}{2}} d\phi$$

• Da Gradshteyn Ryzhik 2007 3.617 otteniamo1

$$F_1(k) = \int_0^{\frac{\pi}{2}} \frac{d\phi}{\left[1 - k^2 \sin^2\phi\right]^{\frac{3}{2}}} = \frac{1}{1 - k^2} E(k)$$
• Per l'integrale $X_{3/2}$ osserviamo innanzitutto²
$$X_{\frac{3}{2}} = \int_0^{2\pi} \frac{\cos\phi' d\phi'}{\left[a^2 + r^2 - 2ar\sin\theta\cos\phi'\right]^{\frac{3}{2}}}$$

$$X_{\frac{3}{2}} = \int_{0}^{2\pi} \frac{\cos \phi' d\phi'}{\left[a^{2} + r^{2} - 2ar\sin\theta\cos\phi'\right]^{\frac{3}{2}}}$$

$$\cos \phi' = \frac{r^2 + a^2 - (r^2 + a^2 - 2ra\sin\theta\cos\phi')}{2ra\sin\theta}$$

• Sostituendo

$$2ra\sin\theta X_{\frac{3}{2}} = \int_{0}^{2\pi} \frac{(r^2 + a^2)d\phi'}{\left[a^2 + r^2 - 2ar\sin\theta\cos\phi'\right]^{\frac{3}{2}}} - \int_{0}^{2\pi} \frac{(a^2 + r^2 - 2ar\sin\theta\cos\phi')d\phi'}{\left[a^2 + r^2 - 2ar\sin\theta\cos\phi'\right]^{\frac{3}{2}}}$$

$$=\frac{4(r^2+a^2)}{\xi^3}\frac{E(k)}{1-k^2}-\int_0^{2\pi}\frac{d\phi'}{\left[a^2+r^2-2ar\sin\theta\cos\phi'\right]^{\frac{1}{2}}}=\frac{4(r^2+a^2)}{\xi^3}\frac{E(k)}{1-k^2}-\frac{4}{\xi}K(k)$$

- ¹I.S. Gradshteyn and I.M. Ryzhik Tables of Integrals, Series, and Products Academic Press 2007
- ²S. Datta Electric and magnetic field from a circular coil using Elliptical integrals - Physics Education September - October 2007 p. 203

Campo magnetico di una spira

**

• In definitiva otteniamo

$$\mathbf{B}(\mathbf{r}) = \frac{\mu_0}{4\pi} i a^2 I_{\frac{3}{2}} \cos\theta \, \hat{\mathbf{e}}_r + \frac{\mu_0}{4\pi} i a \left(r X_{\frac{3}{2}} - a \sin\theta I_{\frac{3}{2}} \right) \hat{\mathbf{e}}_\theta$$

$$\bullet \quad \mathbf{Con}$$

$$I_{\frac{3}{2}} = \frac{4}{\xi^3} \frac{E(k)}{1 - k^2} \qquad \qquad X_{\frac{3}{2}} = \frac{4(r^2 + a^2)}{2ra\sin\theta \xi^3} \frac{E(k)}{1 - k^2} - \frac{4}{2ra\sin\theta \xi} K(k)$$

$$\xi^2 = r^2 + a^2 + 2ar\sin\theta \qquad \qquad k^2 = \frac{4ar\sin\theta}{r^2 + a^2 + 2ar\sin\theta}$$

Sostituendo

$$\mathbf{B}(\mathbf{r}) = \frac{\mu_0}{4\pi} i a^2 \frac{4}{\xi^3} \frac{E(k)}{1 - k^2} \cos\theta \, \hat{\mathbf{e}}_r + \frac{\mu_0}{4\pi} i \left[\left(\frac{4(r^2 + a^2)}{2\sin\theta\xi^3} \frac{E(k)}{1 - k^2} - \frac{4}{2\sin\theta\xi} K(k) \right) - a^2 \sin\theta \frac{4}{\xi^3} \frac{E(k)}{1 - k^2} \right] \hat{\mathbf{e}}_\theta$$

• In definitiva le componenti di B sono

$$B_{r}(r,\theta) = \frac{\mu_{0}}{4\pi} i a^{2} \frac{4}{\xi^{3}} \frac{E(k)}{1 - k^{2}} \cos \theta$$

$$B_{\theta}(r,\theta) = \frac{\mu_0}{4\pi} i \left[\left(\frac{4(r^2 + a^2)}{2\sin\theta\xi^3} \frac{E(k)}{1 - k^2} - \frac{4}{2\sin\theta\xi} K(k) \right) - a^2 \sin\theta \frac{4}{\xi^3} \frac{E(k)}{1 - k^2} \right]$$

- ullet In elettrostatica l'osservazione che la circuitazione di E era nulla ha permesso di introdurre il potenziale elettrostatico
 - ullet Ricordiamo la proprietà $oldsymbol{
 abla} imesig(oldsymbol{
 abla}\phiig)=0$
 - ullet Assumiamo che il campo elettrico ${f E}$ abbia la forma

$$\mathbf{E} = -\mathbf{\nabla}\phi$$

- ullet Sottolineiamo che ϕ è determinato a meno di una costante
- L'equazione di campo è automaticamente soddisfatta

$$\nabla \times \mathbf{E} = -\nabla \times (\nabla \phi) = 0$$

- In magnetostatica si può procedere in modo analogo
- ullet Abbiamo visto che il campo magnetico ${f B}$ soddisfa l'equazione ${f
 abla}\cdot{f B}=0$
 - Questa equazione è soddisfatta automaticamente ponendo

$$\mathbf{B} = \mathbf{\nabla} \times \mathbf{A}$$

- Abbiamo appena visto che la divergenza di un rotore è sempre nulla
- Il campo A prende il nome di Potenziale Vettore
- Il campo A non è univocamente definito (è definito a meno di un gradiente)
 - ullet Tutti i campi $\mathbf{A}' = \mathbf{A} + oldsymbol{
 abla} f(\mathbf{r})$ producono lo stesso campo \mathbf{B}

$$\mathbf{B}' = \mathbf{\nabla} \times \mathbf{A}' = \mathbf{\nabla} \times \mathbf{A} + \mathbf{\nabla} \mathbf{\nabla} f = \mathbf{\nabla} \times \mathbf{A} = \mathbf{B}$$
 $\mathbf{B}' = \mathbf{B}$

- Continuiamo il parallelo fra elettrostatica e magnetostatica
 - \bullet In elettrostatica, dopo avere posto $\mathbf{E}=-\nabla~\phi$, la legge di Gauss portava all'equazione per il potenziale ϕ

$$\mathbf{E} = -\mathbf{\nabla}\phi \qquad \mathbf{\nabla}\cdot\mathbf{E} = \frac{\rho}{\varepsilon_0} \quad \Longrightarrow \quad \mathbf{\nabla}\cdot\left(\mathbf{\nabla}\phi\right) = -\frac{\rho}{\varepsilon_0} \quad \boxed{\mathbf{\nabla}^2\phi = -\frac{\rho}{\varepsilon_0}}$$

- \bullet La legge di Gauss definisce il legame fra il campo E e la sua sorgente (la carica elettrica)
- Ripetiamo gli stessi passi nella magnetostatica
 - Esprimiamo B tramite il potenziale vettore

$$\mathbf{B} = \mathbf{\nabla} \times \mathbf{A}$$

Utilizziamo la legge di Ampère in forma differenziale

$$\mathbf{\nabla} \times \mathbf{B} = \mu_0 \mathbf{J}$$

- Sostituendo $\mathbf{B}=oldsymbol{
 abla} imes \mathbf{A}$ $oldsymbol{
 abla} imes \left(oldsymbol{
 abla} imes \mathbf{A}\right)=\mu_0 \mathbf{J}$
- Nella diapositiva 82 abbiamo visto che

$$oldsymbol{
abla} oldsymbol{
abla} oldsymbol$$

$$\mathbf{\nabla} (\mathbf{\nabla} \cdot \mathbf{A}) - \mathbf{\nabla}^2 \mathbf{A} = \mu_0 \mathbf{J}$$

- ullet Abbiamo già notato che il potenziale vettore ${f A}$ non è univocamente definito
 - ullet Si può sommare un campo che è il gradiente di un campo scalare, $abla f(\mathbf{r})$, e ottenere lo stesso campo $\mathbf B$
 - ullet Si può dimostrare che è sempre possibile trovare una funzione $f(\mathbf{r})$ tale che

$$\mathbf{\nabla} \cdot (\mathbf{A} + \mathbf{\nabla} f) = 0$$

- ullet Possiamo pertanto utilizzare la non univocità del potenziale vettore per imporre che $abla \cdot A = 0$ ed eliminare il primo termine dell'equazione
 - Pertanto l'equazione per A diventa

$$-\mathbf{\nabla}^2\mathbf{A} = \mu_0\mathbf{J}$$

- Ribadiamo il significato di questa notazione (in coordinate cartesiane)
 - \bullet L'operatore laplaciano viene applicato indipendentemente a ciascuna delle tre componenti di A

$$oldsymbol{
abla}^2 A_x = -\mu_0 J_x \qquad oldsymbol{
abla}^2 A_y = -\mu_0 J_y \qquad oldsymbol{
abla}^2 A_z = -\mu_0 J_z$$

- Matematicamente abbiamo tre equazioni di Poisson
 - Conosciamo le soluzioni $A_k\left(\mathbf{r}\right) = \frac{\mu_0}{4\pi} \int \frac{J_k\left(\mathbf{r}'\right)}{\left|\mathbf{r}-\mathbf{r}'\right|} dV' \quad \mathbf{A}\left(\mathbf{r}\right) = \frac{\mu_0}{4\pi} \int \frac{\mathbf{J}\left(\mathbf{r}'\right)}{\left|\mathbf{r}-\mathbf{r}'\right|} dV'$

$$\mathbf{A}(\mathbf{r}) = \frac{\mu_0}{4\pi} \int \frac{\mathbf{J}(\mathbf{r}')}{|\mathbf{r} - \mathbf{r}'|} dV'$$

- L'integrale è esteso a tutto lo spazio
 - La condizione per la sua convergenza è che la densità di corrente J tenda a zero all'infinito $r^2 \mathbf{J}(\mathbf{r}) \to 0 \qquad r \to \infty$
 - ullet La densità di corrente deve tendere a zero più velocemente di $1/r^2$
- ullet Nel calcolo di ${f B}$ il potenziale vettore risulta meno utile del potenziale elettrico
 - È una grandezza vettoriale (tre componenti; il potenziale elettrico solo una)
 - Comunque in casi particolari si può definire un potenziale magnetico scalare che ha qualche utilità per problemi con materiali magnetici
- Tuttavia il potenziale vettore è di fondamentale importanza
 - Come strumento teorico nello sviluppo dell'elettrodinamica
 - Nella trattazione dei problemi con forze elettromagnetiche in meccanica quantistica
- ullet Per un circuito con un filo ... $\mathbf{J}||d\mathbf{r}'|$

$$\int \frac{J(\mathbf{r}') \cdot da'}{|\mathbf{r} - \mathbf{r}'|} d\mathbf{l}' \to I \oint_{C} \frac{d\mathbf{l}'}{|\mathbf{r} - \mathbf{r}'|} \qquad \mathbf{A}(\mathbf{r}) = \frac{\mu_{0}}{4\pi} I \oint_{C} \frac{d\mathbf{l}'}{|\mathbf{r} - \mathbf{r}'|}$$

$$d\mathbf{a}'||d\mathbf{r}' \qquad dV' = da' \; dl'$$

$$\mathbf{A}(\mathbf{r}) = \frac{\mu_0}{4\pi} I \oint_C \frac{d\mathbf{l}'}{|\mathbf{r} - \mathbf{r}'|}$$

Teorema di Helmholtz

- A questo punto vale la pena ribadire alcuni aspetti matematici
 - ullet Abbiamo trovato delle equazioni differenziali per i campi E e B
 - In entrambi i casi le equazioni definiscono il rotore e la divergenza del campo
 - È legittimo chiedersi se matematicamente il problema sia ben posto
- Il teorema di Helmholtz assicura che quanto asseriamo
 - è matematicamente consistente

Teorema di Helmholtz

Sia dato un campo vettoriale $\mathbf{F}(\mathbf{r})$ di cui sono noti rotore e divergenza

- a) $\nabla \cdot \mathbf{F} = \rho(\mathbf{r})$
- b) $\nabla \times \mathbf{F} = \mathbf{J}(\mathbf{r})$
- c) Le funzioni $\rho(\mathbf{r})$ e $\mathbf{J}(\mathbf{r})$ si annullano all'infinito più velocemente di $1/r^2$ Sotto queste condizioni il campo $\mathbf{F}(\mathbf{r})$ è univocamente determinato e ha la forma

$$\mathbf{F} = -\boldsymbol{\nabla}\,\boldsymbol{U} + \boldsymbol{\nabla} \times \mathbf{A} \equiv \mathbf{F}_{\mathrm{irr}} + \mathbf{F}_{\mathrm{sol}} \quad \text{Componente solenoidale} \quad \boldsymbol{\nabla} \cdot \mathbf{F}_{\mathrm{sol}} = 0$$

$$\text{Componente irrotazionale} \quad \boldsymbol{\nabla} \times \mathbf{F}_{\mathrm{irr}} = 0$$

$$U(\mathbf{r}) = \frac{1}{4\pi} \int \frac{\rho(\mathbf{r}')}{|\mathbf{r} - \mathbf{r}'|} dV' \qquad \mathbf{A}(\mathbf{r}) = \frac{1}{4\pi} \int \frac{\mathbf{J}(\mathbf{r}')}{|\mathbf{r} - \mathbf{r}'|} dV'$$

- Abbiamo già detto che il potenziale vettore è di scarsa utilità per i problemi elementari che trattiamo in questo corso
 - Vogliamo tuttavia familiarizzare un po' con questa nuova grandezza
 - Purtroppo il calcolo del potenziale vettore del filo infinito con la formula introdotta nella diapositiva 92 non è possibile
 - La corrente non va a zero all'infinito
 - ullet Il calcolo del potenziale vettore per una spira circolare è complesso come lo è stato il calcolo di B con gli integrali ellittici
 - È semplice solo sull'asse della spira
 - ullet Non è sufficiente per calcolarne il rotore e quindi il campo ${f B}$
- Tuttavia cerchiamo di capire la forma del potenziale vettore in alcuni semplici casi senza l'uso della formula integrale citata
 - ullet Faremo il percorso inverso: noto il campo ${f B}$ troveremo il potenziale ${f A}$!
 - \bullet Il caso più semplice è quello del potenziale vettore di un campo magnetico B costante
 - ullet Assumiamo ${f B}$ lungo l'asse z: $B_z=B_0,\,B_x=B_y=0$ ${f B}=B_0\hat{f e}_z$
 - Avremo pertanto

$$B_{x} = \frac{\partial A_{z}}{\partial y} - \frac{\partial A_{y}}{\partial z} = 0 \qquad B_{y} = \frac{\partial A_{x}}{\partial z} - \frac{\partial A_{z}}{\partial x} = 0 \qquad B_{z} = \frac{\partial A_{y}}{\partial x} - \frac{\partial A_{x}}{\partial y} = B_{0}$$

Potenziale vettore di un campo costante

$$B_{x} = \frac{\partial A_{z}}{\partial y} - \frac{\partial A_{y}}{\partial z} = 0 \qquad B_{y} = \frac{\partial A_{x}}{\partial z} - \frac{\partial A_{z}}{\partial x} = 0 \qquad B_{z} = \frac{\partial A_{y}}{\partial x} - \frac{\partial A_{x}}{\partial y} = B_{0}$$

- Non c'è una soluzione unica
 - Una possibile scelta potrebbe essere

$$A_x = 0 \quad A_y = B_0 x \quad A_z = 0$$

• Una scelta alternativa

$$A_x = -B_0 y \quad A_y = 0 \quad A_z = 0$$

• O anche la media delle due soluzioni trovate

$$A_x = -\frac{1}{2}B_0y$$
 $A_y = \frac{1}{2}B_0x$ $A_z = 0$

ullet Con una formulazione indipendente dall'orientamento di ${f B}$

$$\mathbf{A} = \frac{1}{2}\mathbf{B}_0 \times \mathbf{r} = -\frac{1}{2}\mathbf{r} \times \mathbf{B}_0$$

• Si verifica facilmente che

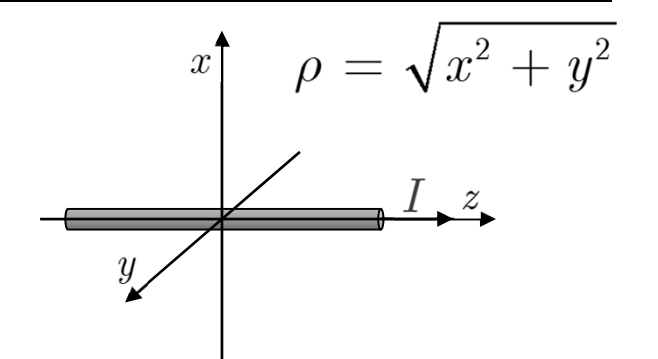
$$\nabla \cdot \mathbf{A} = 0$$
 $\nabla \times \mathbf{A} = \mathbf{B}_0$

Potenziale vettore di un filo

- ullet Consideriamo un filo di raggio a percorso da una corrente I
 - All'interno del filo la densità di corrente J è uniforme e vale

$$J_{x} = 0$$
 $J_{y} = 0$ $J_{z} = \frac{I}{\pi a^{2}}$

• Ricordiamo la formula per il potenziale vettore



$$\mathbf{A}(\mathbf{r}) = \frac{\mu_0}{4\pi} \int \frac{\mathbf{J}(\mathbf{r}')}{|\mathbf{r} - \mathbf{r}'|} dV'$$

• Osserviamo preliminarmente che

$$J_{x} = J_{y} = 0 \longrightarrow A_{x} = 0 \quad A_{y} = 0 \quad A_{z}(\mathbf{r}) = \frac{\mu_{0}}{4\pi} \int \frac{J_{z}(\mathbf{r}')}{|\mathbf{r} - \mathbf{r}'|} dV'$$

$$A_{z}(\mathbf{r}) = \frac{\mu_{0}}{4\pi} \int \frac{J_{z}(\mathbf{r}')}{|\mathbf{r} - \mathbf{r}'|} da' dz' = \frac{\mu_{0}}{4\pi} I \int_{-\infty}^{+\infty} \frac{dz'}{|\mathbf{r} - \mathbf{r}'|}$$

$$A_z({f r}) = A_z(
ho,z) = rac{\mu_0}{4\pi} I {f \int}_{-\infty}^{+\infty} rac{dz'}{\sqrt{
ho^2 + (z-z')^2}} \ = rac{\mu_0 I}{4\pi} 2 {f \int}_0^{+\infty} rac{dz'}{\sqrt{
ho^2 + z'^2}}$$

ullet Sfortunatamente per la densità di corrente data la formula per A_z diverge

Potenziale vettore di un filo

• Infatti

$$\int_0^\infty \frac{dz}{\sqrt{z^2 + \rho^2}} = \ln \frac{\sqrt{z^2 + \rho^2} + z}{\rho} \bigg|_0^\infty = \infty$$

ullet Facciamo il calcolo per un filo di lunghezza finita L

$$A_{z}(\rho,0) = \frac{\mu_{0}I}{2\pi} \int_{0}^{L} \frac{dz}{\sqrt{z^{2} + \rho^{2}}} = \frac{\mu_{0}I}{2\pi} \ln \frac{\sqrt{z^{2} + \rho^{2}} + z}{\rho} \bigg|_{0}^{L} = \frac{\mu_{0}I}{2\pi} \ln \frac{\sqrt{L^{2} + \rho^{2}} + L}{\rho}$$

In definitiva

$$A_z(\rho,0) = \frac{\mu_0 I}{2\pi} \ln \left[\frac{L}{\rho} \left(\sqrt{1 + \frac{\rho^2}{L^2}} + 1 \right) \right]$$

$$A_z(\rho,0) = \frac{\mu_0 I}{2\pi} \ln \left[\frac{L}{\rho} \left(\sqrt{1 + \frac{\rho^2}{L^2}} + 1 \right) \right] \qquad \qquad \text{per} \quad \frac{\rho}{L} \ll 1 \quad \Longrightarrow \quad A_z(\rho,0) = \frac{\mu_0 I}{2\pi} \ln \frac{2L}{\rho}$$

Possiamo anche scriverlo come

$$A_z(
ho,0) = -rac{\mu_0 I}{2\pi} \ln
ho + c \qquad c = rac{\mu_0 I}{2\pi} \ln 2L$$

- Nel caso di filo infinito la costante è infinita
- Come avveniva nel caso elettrostatico di un filo di carica $\qquad \frac{\lambda}{2\pi arepsilon_o} \Leftrightarrow \frac{\mu_o T}{2\pi} \qquad \qquad$

$$\frac{\lambda}{2\pi\varepsilon_0} \Leftrightarrow \frac{\mu_0 I}{2\pi}$$

$$\phi(\mathbf{r}) = -\frac{\lambda}{2\pi\varepsilon_0} \ln\frac{\rho}{a}$$



$$A_z\left(\mathbf{r}\right) = -\frac{\mu_0}{2\pi} i \ln \frac{\rho}{a}$$

Potenziale vettore di un filo

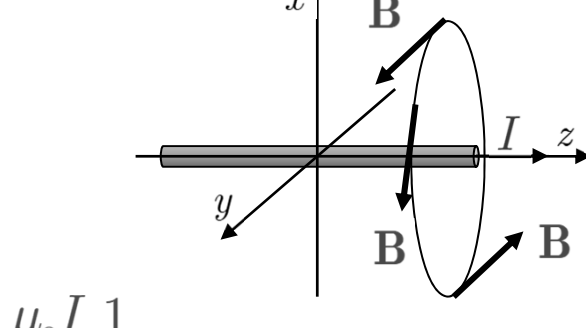
$$A_{z}\left(\mathbf{r}
ight)=-rac{\mu_{0}I}{2\pi}\lnrac{
ho}{a} \hspace{0.5cm}
ho=\sqrt{x^{2}+y^{2}}$$

- Calcoliamo il campo magnetico
 - La componente B_z è nulla $(A_x = A_y = 0)$

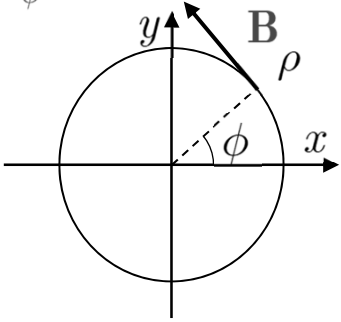
$$B_z = \frac{\partial A_y}{\partial x} - \frac{\partial A_x}{\partial y} = 0$$



$$B_{x}=rac{\partial A_{z}}{\partial y}-rac{\partial A_{y}}{\partial z} \hspace{0.5cm} B_{y}=rac{\partial A_{x}}{\partial z}-rac{\partial A_{z}}{\partial x}$$



$$\mathbf{B} = \frac{\mu_0 I}{2\pi} \frac{1}{\rho} \hat{\mathbf{e}}_{\phi}$$



$$B_x = \frac{\partial A_z}{\partial y} = -\frac{\mu_0 I}{2\pi} \frac{1}{\rho} \frac{\partial \rho}{\partial y} = -\frac{\mu_0 I}{2\pi} \frac{1}{\rho} \frac{y}{\rho} = -\frac{\mu_0 I}{2\pi} \frac{1}{\rho} \sin \phi$$

$$B_{y} = -\frac{\partial A_{z}}{\partial x} = \frac{\mu_{0}I}{2\pi} \frac{1}{\rho} \frac{\partial \rho}{\partial x} = \frac{\mu_{0}I}{2\pi} \frac{1}{\rho} \frac{x}{\rho} = \frac{\mu_{0}I}{2\pi} \frac{1}{\rho} \cos \phi$$